

حل الاستیسیته سه بعدی پانل استوانه‌ای پیزوالکتریک تک لایه تحت بار دینامیکی

محمد رضا صدیقی صابر^۱؛ محمود شاکری^۲؛ علیرضا دانش‌مهر^۳

چکیده

در این تحقیق، حلی نیمه تحلیلی برای پانل استوانه‌ای پیزوالکتریک پلاریزه شده در جهت ضخامت، ارتوتروپ، با تکیه‌گاه‌های ساده و طول محدود تحت بارگذاری الکترومکانیکی دینامیکی ارائه شده است. با بسط مثلثاتی مولفه‌های جابجایی و پتانسیل الکتریکی در جهت‌های محیطی و محوری، دستگاه معادلات دیفرانسیل پاره‌ای جفت شده به دستگاه معادلات دیفرانسیل معمولی با ضرایب متغیر کاهش می‌یابد. مولفه‌های جابجایی و پتانسیل الکتریکی بصورت سری فوریه در جهت‌های محیطی و محوری بگونه‌ای انتخاب می‌گردند که شرایط تکیه‌گاهی ساده لبه‌های محوری و محیطی را برآورده نمایند. معادلات دیفرانسیل حاصل با استفاده از روش اجزاء محدود گلرکین حل می‌شوند. در این روش از تابع شکل مرتبه دوم در هر المان استفاده شده است. پاسخ دینامیکی پانل استوانه‌ای پیزوالکتریک تک لایه تحت بارگذاری دینامیکی خارجی بعنوان مثال عددی ارائه شده است.

کلمات کلیدی

پیزوالکتریک، پانل استوانه‌ای با طول محدود، بار دینامیکی.

A Three Dimensional Elasticity Solution of Single Layer Cylindrical Piezoelectric Panel under Dynamic Loading

M.R. Sedighi, M. Shakeri, A.R. Daneshmehr

ABSTRACT

This research presents a semi-analytical solution of finitely long, simply supported, orthotropic and radially polarized piezoelectric shell panel under dynamic electro-mechanical loading. The highly coupled partial differential equations set are reduced to ordinary differential equation set with variable coefficients by the trigonometric function expansion of displacement and electric potential in circumferential and axial directions. The displacement components and electric potential are expanded in appropriate trigonometric Fourier series in circumferential and axial coordinate to satisfy the boundary conditions at the simply supported circumferential and axial edges. The resulting ordinary differential equations are solved by Galerkin finite element method. In this procedure, a quadratic shape function is used for each element. Numerical example is provided for dynamic response of a single layer piezoelectric cylindrical panel under dynamic external loading.

KEYWORDS

Piezoelectric, Cylindrical panel with finite length, Dynamic loading.

^۱ دانشجوی دکتری دانشکده مهندسی مکانیک، دانشگاه صنعتی امیرکبیر. Email: sedighisaber@gmail.com

^۲ استاد دانشکده مهندسی مکانیک، دانشگاه صنعتی امیرکبیر. Email: shakeri@aut.ac.ir

^۳ استادیار دانشکده مهندسی مکانیک، پردیس دانشکده‌های فنی دانشگاه تهران. Email: daneshmehr@ut.ac.ir



و مکانیکی بطور همزمان قرار می‌گیرد. ماده پیزوالکتریک استفاده شده در این تحقیق ارتوتروپیک بوده و در جهت شعاعی پلاریزه^۲ شده است.

از آنجاکه معادلات دیفرانسیل حاکم بر حرکت پانل پیزوالکتریک به هم کوپل شده است، با استفاده از بسط توابع متعامد متغیرها، دستگاه معادلات مشتقات جزئی به دستگاه معادلات دیفرانسیل معمولی با ضرایب متغیر تبدیل می‌شود. بدین منظور، مؤلفه‌های جابجایی و پتانسیل الکتریکی بصورت سریهای فوریه بگونه‌ای انتخاب می‌شوند که شرایط مرزی تکیه‌گاهی پانل در جهت‌های طولی و محیطی را برآورده نمایند. با اعمال روش گالرگین^۳ معادلات دیفرانسیل حاکم به فرم ضعیف^۴ شده تبدیل شده و از روی آن معادله دیفرانسیل مجزا شده سیستم بصورت ماتریسی استخراج می‌گردد. گفتنی است که در روش گالرگین از توابع میانجی مرتبه دوم جهت استخراج ماتریسهای جرم، سختی و نیرو استفاده شده است.

۲- معادلات حاکم

معادلات رفتاری یک ماده دارای خاصیت پیزوالکتریک بصورت رابطه (۱) است [۱]:

$$\{\sigma\} = [C]\{\varepsilon\} - [e]^T \{E\}, \quad \{D\} = [e]\{\varepsilon\} + [\eta]\{E\} \quad (1)$$

در رابطه (۱)، $\{\sigma\}$ مؤلفه‌های تنش، $\{\varepsilon\}$ مؤلفه‌های کرنش، $\{E\}$ بردار میدان الکتریکی و $\{D\}$ بردار جابجائی الکتریکی می‌باشند که در سیستم مختصات استوانه‌ای (r, θ, z) عبارتند از [۱]:

$$\{\sigma\} = [\sigma_r \quad \sigma_\theta \quad \sigma_z \quad \tau_{r\theta} \quad \tau_{rz} \quad \tau_{r\theta}]^T$$

$$\{\varepsilon\} = [\varepsilon_r \quad \varepsilon_\theta \quad \varepsilon_z \quad \gamma_{\theta z} \quad \gamma_{rz} \quad \gamma_{r\theta}]^T$$

$$\{E\} = [E_r \quad E_\theta \quad E_z]^T$$

$$\{D\} = [D_r \quad D_\theta \quad D_z]^T$$

همچنین $[C]$ ، $[e]$ و $[\eta]$ بترتیب ماتریسهای ثابت‌های الاستیک، پیزو الکتریک و دی‌الکتریک هستند. معادله تعادل حاکم بر پانل با چشم پوشی از نیروی حجمی و معادله تعادل شارژ الکترواستاتیک در سیستم مختصات استوانه‌ای عبارتند از [۴]:

$$\frac{\partial \sigma_r}{\partial r} + \frac{\sigma_r - \sigma_\theta}{r} + \frac{1}{r} \frac{\partial \tau_{r\theta}}{\partial \theta} + \frac{\partial \tau_{rz}}{\partial z} = \rho \ddot{u}_r \quad (2)$$

$$\frac{\partial \tau_{r\theta}}{\partial r} + \frac{1}{r} \frac{\partial \sigma_\theta}{\partial \theta} + \frac{\partial \tau_{\theta z}}{\partial z} + 2 \frac{\tau_{r\theta}}{r} = \rho \ddot{u}_\theta \quad (3)$$

$$\frac{\partial \tau_{rz}}{\partial r} + \frac{1}{r} \frac{\partial \tau_{\theta z}}{\partial \theta} + \frac{\partial \sigma_z}{\partial z} + \frac{\tau_{rz}}{r} = \rho \ddot{u}_z \quad (4)$$

$$\frac{1}{r} \frac{\partial r D_r}{\partial r} + \frac{1}{r} \frac{D_\theta}{\partial \theta} + \frac{\partial D_z}{\partial z} = 0 \quad (5)$$

برای ماده پیزوالکتریک ارتوتروپیک استوانه‌ای که در جهت

بر هم کنش بین میدانهای الکتریکی و مکانیکی در مواد پیزوالکتریک سبب شده تا از این مواد بطور وسیعی استفاده شود. مواد پیزوالکتریک دارای دو اثر مستقیم^۱ و معکوس^۲ می‌باشند. از خاصیت اثر مستقیم آن در ساخت سنسورهای الکترومکانیکی^۳ برای اندازه‌گیری تغییر شکل، فشار و استفاده می‌شود. اختلاف پتانسیل الکتریکی ایجاد شده در سنسورها در اثر تغییر شکل حاصل از بار وارده، آنها را به ابزاری قوی برای اندازه‌گیری پدیده‌های فیزیکی مبدل ساخته است. از خاصیت اثر معکوس مواد پیزوالکتریک در عملگرهای^۴ الکترومکانیکی استفاده می‌شود. این عملگرها می‌تواند کمیت‌های مهم عملکرد سیستمهای دینامیکی و یا استاتیکی را کنترل کرد. این مهم با اعمال اختلاف پتانسیل مناسب در سطوح پیزوالکتریک انجام می‌گیرد. از این خاصیت برای کاهش وزن سازه‌ها، مقاومت کردن آنها و همچنین کنترل هوشمند سازه‌ها می‌توان بهره گرفت [۱]. در عمل این مواد به دو صورت یکپارچه^۵ و تکه‌ای^۶ می‌تواند مورد استفاده قرار گیرند.

حل‌های دقیق معادلات الاستیسیته سه بعدی حاکم بر مواد پیزوالکتریک که در آنها خواص الکتریکی و مکانیکی با هم کوپل هستند بسیار کم و فقط برای بعضی هندسه‌های خاص موجود است. از طرفی برای ارزیابی تئوری‌های دوبعدی که برای فرمولبندی این مواد ارائه می‌شوند، دستیابی به این حل‌ها ضروری است (تئوریهای پوسته و ورق پیزو الکتریک) [۲].

دومیر (Dumir) و همکارانش حل دقیقی از پانل استوانه‌ای پیزوالکتریک با طول نامحدود برای حالت استاتیکی ارائه کرده‌اند [۲]. ایشان ضمن مقایسه روش حل ارائه شده با جوابهای دقیق موجود برای پانل همسانگرد نتایج را برای بارگذاری‌های مکانیکی و الکترواستاتیک بررسی کرده‌است. بررسی پوسته استوانه‌ای پیزوالکتریک با طول نامحدود تحت اثر بارهای حرارتی و مکانیکی توسط چن (Chen) و همکارانش ارائه شده است [۳]. حل الاستیسیته سه محوری پانل استوانه‌ای با طول محدود توسط شاکری ارائه شده است [۴]. شاکری ضمن ارائه حل الاستیسیته سه محوری پانل استوانه‌ای ضخیم غیرایزوتوپ تحت بار ضربه‌ای [۵] به حل نیمه تحلیلی الاستیسیته سه محوری برای پانل استوانه‌ای ضخیم ارتوتروپیک به همراه یک لایه پیزوالکتریک [۶] نیز پرداخته است.

در مقاله حاضر، حل نیمه تحلیلی برای آنالیز دینامیکی پانل پیزوالکتریک استوانه‌ای با طول محدود ارائه شده است. این پانل روی تکیه‌گاههای ساده قرار داشته و تحت اعمال بار الکتریکی

از طرفی میدان الکتریکی را می‌توان بر حسب پتانسیل الکتریکی ψ ، توسط روابط (۱۰) و (۱۱) بیان کرد [۶]:

$$E_r = -\frac{\partial \psi}{\partial r}, E_\theta = -\frac{1}{r} \frac{\partial \psi}{\partial \theta}, E_z = -\frac{\partial \psi}{\partial z} \quad (10)$$

با استفاده از روابط (۷) تا (۱۰)، معادله تعادل حاکم بر پانل (روابط (۲) تا (۵)) را می‌توان به صورت ناویر^۱ نوشت. با بازنویسی معادلات حاصل بصورت اپراتوری بدست می‌آید:

$$\begin{bmatrix} L_{1r} & L_{1\theta} & L_{1z} & L_{1\psi} \\ L_{2r} & L_{2\theta} & L_{2z} & L_{2\psi} \\ L_{3r} & L_{3\theta} & L_{3z} & L_{3\psi} \\ L_{4r} & L_{4\theta} & L_{4z} & L_{4\psi} \end{bmatrix} \begin{bmatrix} u_r \\ u_\theta \\ u_z \\ \psi \end{bmatrix} = \begin{bmatrix} \rho \ddot{u}_r \\ \rho \ddot{u}_\theta \\ \rho \ddot{u}_z \\ 0 \end{bmatrix} \quad (11)$$

که درایه‌های معادله ماتریسی یاد شده، L_{ij} ها، در مرجع [۴] داده شده است. باید توجه داشت که در اینجا ($j = ۱, ۲, ۳, ۴$) و ($j = r, \theta, z, \psi$) است.

با فرض اینکه فشار و پتانسیل الکتریکی یا جابجایی الکتریکی وارده روی سطوح داخلی و خارجی پانل بترتیب $p_a(\theta, z, t)$ یا $\psi_a(\theta, z, t)$ یا $D_a(\theta, z, t)$ و $p_b(\theta, z, t)$ یا $\psi_b(\theta, z, t)$ یا $D_b(\theta, z, t)$ باشند، شرایط مرزی پانل بصورت روابط (۱۲) تا (۱۵) خواهد بود:

شرایط مرزی در دو انتهای طولی ($z = 0, L$)، عبارتند از:

$$\begin{aligned} u_r(r, \theta, 0, t) = u_r(r, \theta, L, t) = 0 \\ u_\theta(r, \theta, 0, t) = u_\theta(r, \theta, L, t) = 0 \\ \sigma_z(r, \theta, 0, t) = \sigma_z(r, \theta, L, t) = 0 \\ \psi(r, \theta, 0, t) = \psi(r, \theta, L, t) = 0 \end{aligned} \quad (12)$$

شرایط مرزی در دو انتهای محیطی ($\theta = 0, \alpha$)، را چنین می‌توان نوشت:

$$\begin{aligned} u_r(r, 0, z, t) = u_r(r, \alpha, z, t) = 0 \\ u_z(r, 0, 0, t) = u_z(r, \alpha, L, t) = 0 \\ \sigma_\theta(r, 0, z, t) = \sigma_\theta(r, \alpha, z, t) = 0 \\ \psi(r, 0, z, t) = \psi(r, \alpha, z, t) = 0 \end{aligned} \quad (13)$$

و شرایط مرزی روی سطوح داخلی و خارجی ($r = R_a, R_b$)، بصورت روابط (۱۴) و (۱۵) است:

$$\begin{aligned} \sigma_r(R_a, \theta, z, t) = -p_a(\theta, z, t) \\ \tau_{rz}(R_a, \theta, z, t) = 0 \\ \tau_{r\theta}(R_a, \theta, z, t) = 0 \\ \psi(R_a, \theta, z, t) = \psi_a(\theta, z, t) \text{ یا } D_r(R_a, \theta, z, t) = D_a(\theta, z, t) \end{aligned} \quad (14)$$

و

ضخامت پلاریزه شده، ماتریسهای $[C]$ ، $[e]$ و $[\eta]$ در مرجع [۱] بصورت رابطه (۶) داده شده است:

$$[C] = \begin{bmatrix} C_{11} & C_{12} & C_{13} & 0 & 0 & 0 \\ C_{12} & C_{22} & C_{23} & 0 & 0 & 0 \\ C_{13} & C_{23} & C_{33} & 0 & 0 & 0 \\ 0 & 0 & 0 & C_{44} & 0 & 0 \\ 0 & 0 & 0 & 0 & C_{55} & 0 \\ 0 & 0 & 0 & 0 & 0 & C_{66} \end{bmatrix} \quad (6)$$

$$[e] = \begin{bmatrix} e_{33} & e_{32} & e_{31} & 0 & 0 & 0 \\ 0 & 0 & 0 & 0 & 0 & e_{24} \\ 0 & 0 & 0 & 0 & e_{15} & 0 \end{bmatrix}, [\eta] = \begin{bmatrix} \eta_{33} & 0 & 0 \\ 0 & \eta_{11} & 0 \\ 0 & 0 & \eta_{22} \end{bmatrix}$$

با استفاده از ماتریسهای ثابت داده شده توسط رابطه (۶)، معادله رفتاری (۱) را می‌توان بصورت روابط (۷) و (۸) نوشت:

$$\begin{aligned} \sigma_r &= C_{11}\epsilon_{rr} + C_{12}\epsilon_{\theta\theta} + C_{13}\epsilon_{zz} - e_{33}E_r \\ \sigma_\theta &= C_{12}\epsilon_{rr} + C_{22}\epsilon_{\theta\theta} + C_{23}\epsilon_{zz} - e_{32}E_r \\ \sigma_z &= C_{13}\epsilon_{rr} + C_{23}\epsilon_{\theta\theta} + C_{33}\epsilon_{zz} - e_{31}E_r \\ \tau_{\theta z} &= C_{44}\gamma_{\theta z} \\ \tau_{rz} &= C_{55}\gamma_{rz} - e_{15}E_z \\ \tau_{r\theta} &= C_{66}\gamma_{r\theta} - e_{24}E_\theta \end{aligned} \quad (7)$$

و

$$\begin{aligned} D_r &= e_{33}\epsilon_{rr} + e_{32}\epsilon_{\theta\theta} + e_{31}\epsilon_{zz} + \eta_{33}E_r \\ D_\theta &= e_{24}\gamma_{r\theta} + \eta_{22}E_\theta \\ D_z &= e_{15}\gamma_{rz} + \eta_{11}E_z \end{aligned} \quad (8)$$

پانلی با شعاع متوسط R_m ، ضخامت H ، طول محدود L و زاویه دهنه α را مطابق شکل (۱) در نظر بگیرید. این پانل در دو انتهای طولی ($Z = 0, L$) و محیطی ($\theta = 0, \alpha$) روی تکیه گاههای ساده قرار داشته که در این نقاط پتانسیل الکتریکی صفر است. سطوح خارجی و داخلی پانل تحت بار مکانیکی و الکتریکی بطور همزمان قرار دارند. بارهای مکانیکی و الکتریکی وارده نسبت به محورهای طولی و محیطی پانل متغیر هستند. روابط بین کرنشها و مؤلفه‌های جابجایی (u_r, u_θ, u_z) در سیستم مختصات استوانه‌ای عبارتند از:

$$\begin{aligned} \epsilon_r &= \frac{\partial u_r}{\partial r}, \gamma_{\alpha z} = \frac{\partial u_\theta}{\partial z} + \frac{1}{r} \frac{\partial u_z}{\partial \theta} \\ \epsilon_\theta &= \frac{1}{r} (u_r + \frac{\partial u_\theta}{\partial \theta}), \gamma_{rz} = \frac{\partial u_z}{\partial r} + \frac{\partial u_r}{\partial z} \\ \epsilon_z &= \frac{\partial u_z}{\partial z}, \gamma_{r\theta} = \frac{1}{r} (\frac{\partial u_r}{\partial \theta} - u_\theta + r \frac{\partial u_\theta}{\partial r}) \end{aligned} \quad (9)$$

توابع شکل مرتبه دوم N_i, N_j, N_k بترتیب بصورت روابط (۲۳) - (۲۵) تعریف می‌شوند:

$$N_i(r) = \frac{(r-r_k)(2r-r_k-r_i)}{(r_k-r_i)^2} \quad (23)$$

$$N_j(r) = 4 \frac{(r_k-r)(r-r_i)}{(r_k-r_i)^2} \quad (24)$$

$$N_k(r) = \frac{(r-r_i)(2r-r_k-r_i)}{(r_k-r_i)^2} \quad (25)$$

همانگونه که دیده می‌شود، هر المان سه گره دارد و به ازای هر گره نیز ۴ درجه آزادی وجود دارد، لذا برای هر المان ۱۲ درجه آزادی وجود خواهد داشت. با ضرب اولین تابع شکل، یعنی N_i ، در اولین معادله دیفرانسیل دستگاه (۲۰)، و یکبار انتگرالگیری جزء به جزء روی المان، شکل ضعیف شده معادله بدست می‌آید، که عبارت است از:

$$\begin{aligned} m_1 \ddot{\phi}_{ir} + m_2 \ddot{\phi}_{i\theta} + m_3 \ddot{\phi}_{iz} + m_4 \ddot{\phi}_{i\psi} + m_5 \ddot{\phi}_{jr} + \\ m_6 \ddot{\phi}_{j\theta} + m_7 \ddot{\phi}_{jz} + m_8 \ddot{\phi}_{j\psi} + m_9 \ddot{\phi}_{kr} + m_{10} \ddot{\phi}_{k\theta} + \\ m_{11} \ddot{\phi}_{kz} + m_{12} \ddot{\phi}_{k\psi} + k_1 \phi_{ir} + k_2 \phi_{i\theta} + k_3 \phi_{iz} + \\ k_4 \phi_{i\psi} + k_5 \phi_{jr} + k_6 \phi_{j\theta} + k_7 \phi_{jz} + k_8 \phi_{j\psi} + \\ k_9 \phi_{kr} + k_{10} \phi_{k\theta} + k_{11} \phi_{kz} + k_{12} \phi_{k\psi} = F_1 \end{aligned} \quad (26)$$

توجه شود که این معادله جبری فقط مربوط به گره i ام المان است. برای گره‌های j ام و k ام کافی است در فرایند یاد شده بجای تابع وزن N_i بترتیب از N_j و N_k استفاده شود. برای تشکیل معادله ماتریسی تعادل المان نیاز است عملیات گفته شده روی بقیه معادلات دستگاه تکرار گردد. پس از اتمام عملیات، معادله ماتریسی (۲۷) حاصل خواهد شد.

$$[M]_e \{\ddot{X}\}_e + [K]_e \{X\}_e = \{F\}_e \quad (27)$$

که $[M]_{12 \times 12}$ ، $[K]_{12 \times 12}$ ، $\{F\}_{12}$ ، بترتیب ماتریس‌های جرم و سختی و بردار نیروی یک المان غیر مرزی می‌باشند. همچنین:

$$\{X\}_e^T = \{\varphi_{ri}, \varphi_{\theta i}, \varphi_{zi}, \varphi_{\psi i}, \varphi_{rj}, \varphi_{\theta j}, \varphi_{zj}, \varphi_{\psi j}, \varphi_{rk}, \varphi_{\theta k}, \varphi_{zk}, \varphi_{\psi k}\}$$

$$\{\ddot{X}\}_e^T = \{\ddot{\varphi}_{ri}, \ddot{\varphi}_{\theta i}, \ddot{\varphi}_{zi}, \ddot{\varphi}_{\psi i}, \ddot{\varphi}_{rj}, \ddot{\varphi}_{\theta j}, \ddot{\varphi}_{zj}, \ddot{\varphi}_{\psi j}, \ddot{\varphi}_{rk}, \ddot{\varphi}_{\theta k}, \ddot{\varphi}_{zk}, \ddot{\varphi}_{\psi k}\}$$

با اعمال شرایط مرزی (۱۴) و (۱۵) روی اولین و آخرین گره (سطوح داخلی و خارجی پانل) و حل معادلات بدست آمده برای متغیرهای گره‌های مرزی، متغیرهای مرزی می‌توانند بر حسب توابعی جبری از متغیرهای گره‌های همسایه‌شان بیان شوند. از اینرو اگر متغیرهای گره واقع روی سطح داخلی $\phi_{\theta 1}, \phi_{r1}, \phi_{z1}$ و $\phi_{\psi 1}$ باشند، می‌توانند بترتیب بر حسب $\phi_{\psi 1}, \phi_{z1}, \phi_{r1}, \phi_{\theta 1}, \phi_{\psi 2}, \phi_{z2}, \phi_{r2}, \phi_{\theta 2}, \phi_{\psi 3}, \phi_{z3}, \phi_{r3}, \phi_{\theta 3}, \phi_{\psi 4}, \phi_{z4}, \phi_{r4}, \phi_{\theta 4}, \phi_{\psi 4}$ بیان شوند. همچنین

$$\begin{aligned} \sigma_r(R_b, \theta, z, t) = -p_b(\theta, z, t) \\ \tau_{rz}(R_b, \theta, z, t) = 0 \end{aligned} \quad (15)$$

$$\tau_{r\theta}(R_b, \theta, z, t) = 0$$

$$\psi(R_b, \theta, z, t) = \psi_b(\theta, z, t) \text{ یا } D_r(R_b, \theta, z, t) = D_b(\theta, z, t)$$

در این روابط شرایط D_r و ψ ، بترتیب برای حالتی است که اثرات مستقیم (سنسوری) و غیر مستقیم (عملگری) پیزوالکتریک مدنظر باشد.

۳- حل معادلات حرکت

با در نظر گرفتن مؤلفه‌های جابجایی و پتانسیل الکتریکی بصورت روابط (۱۶) تا (۱۹) شرایط مرزی تکیه گاهی برآورده می‌شوند.

$$u_r = \sum_{m=1}^{\infty} \sum_{n=1}^{\infty} \phi_r(r, t) \sin(b_m \theta) \sin(b_n z) \quad (16)$$

$$u_{\theta} = \sum_{m=1}^{\infty} \sum_{n=1}^{\infty} \phi_{\theta}(r, t) \cos(b_m \theta) \sin(b_n z) \quad (17)$$

$$u_z = \sum_{m=1}^{\infty} \sum_{n=1}^{\infty} \phi_z(r, t) \sin(b_m \theta) \cos(b_n z) \quad (18)$$

$$\psi = \sum_{m=1}^{\infty} \sum_{n=1}^{\infty} \phi_{\psi}(r, t) \sin(b_m \theta) \sin(b_n z) \quad (19)$$

با جاگذاری روابط (۱۶) تا (۱۹) در رابطه ماتریسی (۱۱)، این دستگاه معادلات از حالت پاره‌ای جفت شده بفرم پاره‌ای مجزا در خواهد آمد. با بازنویسی دستگاه معادلات بشکل ماتریسی، می‌توان نوشت:

$$\begin{bmatrix} L_{1r}^* & L_{1\theta}^* & L_{1z}^* & L_{1\psi}^* \\ L_{2r}^* & L_{2\theta}^* & L_{2z}^* & L_{2\psi}^* \\ L_{3r}^* & L_{3\theta}^* & L_{3z}^* & L_{3\psi}^* \\ L_{4r}^* & L_{4\theta}^* & L_{4z}^* & L_{4\psi}^* \end{bmatrix} \begin{Bmatrix} \varphi_r \\ \varphi_{\theta} \\ \varphi_z \\ \varphi_{\psi} \end{Bmatrix} = \begin{Bmatrix} \rho \ddot{\varphi}_r \\ \rho \ddot{\varphi}_{\theta} \\ \rho \ddot{\varphi}_z \\ 0 \end{Bmatrix} \quad (20)$$

عملگرهای L_{ij}^* استفاده شده در این رابطه در مرجع [۴] داده شده است. برای حل دستگاه معادلات دیفرانسیل یاد شده از روش اجزاء محدود مبتنی بر روش گالرگین استفاده می‌شود. توابع میانیاب مرتبه دوم $\phi_r, \phi_{\theta}, \phi_z, \phi_{\psi}$ ، $\ddot{\phi}_r, \ddot{\phi}_{\theta}, \ddot{\phi}_z, \ddot{\phi}_{\psi}$ بصورت روابط (۲۱) و (۲۲) است:

$$\phi_s = [N_i \quad N_j \quad N_k] \begin{Bmatrix} \phi_{si} \\ \phi_{sj} \\ \phi_{sk} \end{Bmatrix}, s = r, \theta, z, \psi \quad (21)$$

$$\ddot{\phi}_s = [N_i \quad N_j \quad N_k] \begin{Bmatrix} \ddot{\phi}_{si} \\ \ddot{\phi}_{sj} \\ \ddot{\phi}_{sk} \end{Bmatrix}, s = r, \theta, z, \psi \quad (22)$$

اگر متغیرهای گره واقع روی سطح خارجی $\phi_{ML}, \phi_{\theta ML}, \phi_{rML}$ باشد، می‌توان آنها را بترتیب $\phi_{\psi ML}, \phi_{z ML}, \phi_{\theta ML}, \phi_{r ML}$ و برحسب $\phi_{r(ML-1)}, \phi_{\psi(ML-2)}, \phi_{z(ML-2)}, \phi_{\theta(ML-2)}, \phi_{r(ML-2)}, \phi_{\psi(ML-1)}, \phi_{z(ML-1)}, \phi_{\theta(ML-1)}, \phi_{r(ML-1)}$ و $\psi_b, P_b, \phi_{\psi(ML-1)}, \phi_{z(ML-1)}, \phi_{\theta(ML-1)}$ بیان کرد. $\ddot{\psi}_b, \ddot{P}_b, \ddot{\phi}_{\psi(ML-1)}, \ddot{\phi}_{z(ML-1)}, \ddot{\phi}_{\theta(ML-1)}, \ddot{\phi}_{r(ML-1)}, \ddot{\phi}_{\psi(ML-2)}$

با جاگذاری معادلات متغیرهای مربوط به گره‌های مرزی در رابطه (۲۷)، معادله تعادل اجزاء محدود المانهای مرزی بدست خواهند آمد:

$$[M]_{II} \{\ddot{X}\} + [K]_{II} \{X\}_I = \{F\}_I, \quad (28)$$

$$[M]_{ML} \{\ddot{X}\} + [K]_{ML} \{X\}_{ML} = \{F\}_{ML}$$

با مونتاژ معادلات (۲۷) و (۲۸)، معادله تعادل اجزاء محدود کلی سیستم بدست می‌آید:

$$[M] \{\ddot{X}\} + [K] \{X\} = \{F\} \quad (29)$$

پس از تشکیل معادله ماتریسی شماره (۲۸) نیاز است با یکی از روشهای انتگرالگیری زمانی موجود به حل آن پرداخته شود. در اینجا، برای حل این دستگاه از روش ضمنی نیومارک^{۱۱} استفاده شده است (این روش در کتابهای پایه محاسبات عددی بصورت جزئی‌تر آمده است).

۴- نتایج عددی و بحث پیرامون آن

برای بررسی نتایج روش استفاده شده، یک پانل استوانه‌ای با زاویه دهنه $\alpha = \pi/3$ طول $L = R_m = 1$ و نسبت شعاع متوسط به ضخامت ϵ که در جهت شعاع پلاریزه شده و روی تکیه گاههای ساده قرار دارد انتخاب شده است. در این مثال فقط خاصیت عملگری پیزوالکتریک مد نظر است. بطوریکه پانل تحت بار مکانیکی متغیر با زمان قرار داشته و پتانسیل الکتریکی سطوح داخلی و خارجی برابر صفر است. در این حالت شرایط مرزی (۱۴) و (۱۵) را می‌توان بصورت رابطه (۳۰) نوشت:

$$\psi_a(\theta, z, t) = \psi_b(\theta, z, t) = p_a(\theta, z, t) = 0 \quad (30)$$

$$p_b(\theta, z, t) = p_0(t) \sin(\pi\theta/\alpha) \sin(\pi z/L)$$

تابع بار فشاری روی سطح خارجی بصورت زیر انتخاب می‌شود. علت انتخاب این تابع بخاطر آن است که با تغییر ثابت زمانی c بار وارده روی پانل از شبه استاتیکی تا پله می‌تواند تغییر کند.

$$p_0(t) = q_0(1 - e^{-ct}) \quad (31)$$

در شکل (۲) این تابع بازای مقادیر $q_0 = 16/\pi^2$ و c برابر ۵۰۰۰

(برثانه) ترسیم شده است.

ماده پیزوالکتریک انتخاب شده الاستیک و ارتوترپ است. ثابت‌های مربوط به این نوع پیزوالکتریک، مانند ثابت‌های الاستیک، پیزوالکتریک و دی الکتریک در جدول (۱) آمده است. نتایج عددی ارائه شده در شکل‌های (۳) الی (۱۲) همگی توسط روابط (۳۳) بی‌بعد شده است.

$$(u_r^*, u_\theta^*, u_z^*) = \frac{100Y}{HS^4 q_0} (u_r, u_\theta, u_z), \quad \psi^* = \frac{|d|Y}{HS^2 q_0} \psi$$

$$(\sigma_r^*, \sigma_\theta^*, \sigma_z^*, \tau_{\theta z}^*, \tau_{rz}^*, \tau_{r\theta}^*) = \frac{(S^2 \sigma_r, \sigma_\theta, \sigma_z, S \tau_{\theta z}, S \tau_{rz}, S \tau_{r\theta})}{S^2 q_0}$$

$$\text{Dimensionless time} = \frac{t}{H} \sqrt{\frac{Y}{\rho}} \quad (32)$$

که در این روابط $Y = 50$ (گیگا پاسکال) و $d = -3.0 \times 10^{-12}$ (کولمب بر نیوتن) بترتیب مدول الاستیسیته و ثابت پیزوالکتریک در جهت شعاع هستند. زمان بی‌بعد نیز طبق تعریف (۳۲) عبارت است از نسبت زمان به مدت زمانی که موج الاستیک نیاز دارد تا یکبار ضخامت پانل را طی نماید. پارامترهای هندسی و بی‌بعد پانل بقرار (۳۳) زیر است:

$$S = R_m / H, \quad H = R_b - R_a, \quad R_m = (R_a + R_b) / 2 \quad (33)$$

جدول (۱): ثابت‌های الاستیک، پیزوالکتریک و دی الکتریک [۷] PZT4

Modulii	PZT4	Unit	Modulii	PZT4	Unit
C_{11}	۱۳۸/۵	GPa	e_{15}	۱۲/۷	C/m ²
C_{22}	۱۳۸/۵	GPa	e_{24}	۱۲/۷	C/m ²
C_{33}	۱۱۴/۷	GPa	e_{31}	-۵/۲	C/m ²
C_{44}	۲۵/۶	GPa	e_{32}	-۵/۲	C/m ²
C_{55}	۲۵/۶	GPa	e_{33}	۱۵/۸	C/m ²
C_{66}	۲۰/۶	GPa	η_{11}	۱۳/۸	nF/m
C_{12}	۷۷/۴	GPa	η_{22}	۱۳/۸	nF/m
C_{13}	۷۳/۶	GPa	η_{33}	۱۱/۵	nF/m
C_{23}	۷۳/۶	GPa	ρ	۷۵۰۰	kg/m ³

برای ادامه حل لازم است که بار خارجی وارده بصورت بسط نیم سینوسی سری فوریه دوگانه بیان شود، اما از آنجاکه توزیع بار در نظر گرفته شده روی سطح خارجی پانل نیم سینوسی است (۳۰)، کلیه جملات سری مگر جمله اول در بسط و در نتیجه در حل پدیدار نمی‌شود.

در این میان قبل از ارائه نتایج، روش استفاده شده در اینجا بکمک حل انجام شده توسط رن (Ren) مورد ارزیابی قرار می‌گیرد. از آنجاکه حل رن [۸] برای پانل استوانه‌ای ارتوترپ با طول نامحدود تحت بار استاتیکی است به منظور نزدیک شدن حل دینامیکی ارائه شده به حل یاد شده بایستی شرایط خاصی

است. این دو کمیت نیز مانند جابجایی شعاعی، رفتاری سینوسی از خود نشان می‌دهند. همانگونه که ملاحظه می‌شود میزان جابجایی محیطی سطح داخلی از سطوح میانی و خارج بطور قابل ملاحظه‌ای بزرگتر است. اما جابجایی محیطی سطوح مختلف پائل نسبت به جابجایی محیطی رفتاری متفاوت از خود نشان می‌دهند. بطوریکه در این حالت حرکت سطوح خارجی و داخلی مخالف جهت هم حرکت می‌کنند.

تغییرات پتانسیل الکتریکی با زمان در نقطه $(\alpha/2, L/2)$ در شکل (۶) نشان داده شده است. تغییرات این کمیت نیز مانند جابجایی شعاعی و محیطی سینوسی است. همانگونه که در این شکل نشان داده شده است پتانسیل الکتریکی مربوط به سطوح داخلی و خارجی پائل صفر است و این امر بیانگر برآورده شدن کامل و دقیق شرایط مرزی اعمال شده است.

تاریخچه زمانی تنش شعاعی نقطه $(\alpha/2, L/2)$ در شکل (۷) نشان داده شده است. همانگونه که مشاهده می‌شود، مقدار تنش شعاعی ابتدا بطور ناگهانی افزایش و سپس به آرامی با گذشت زمان افزایش می‌یابد. افزایش تدریجی یاد شده همراه با نوساناتی است که فرکانس آن از فرکانس نوسانات مربوط به مؤلفه‌های جابجایی و پتانسیل الکتریکی به اندازه قابل توجه‌ای بزرگتر است. دیده می‌شود که پوش یا میانگین این نوسانات منحنی‌ای ایجاد می‌کند که از هر جهت مشابه بار خارجی وارده است. همچنین مقدار این مؤلفه تنش در سطح میانی نزدیک به نصف بار خارجی وارده است. همانگونه که انتظار می‌رفت سطح داخلی بدون تنش و مقدار تنش شعاعی در نقطه $(\alpha/2, L/2)$ روی سطح خارجی، همان تابع بارگذاری اعمال شده در شرایط مرزی است.

تغییرات مؤلفه‌های تنش محیطی و محوری نسبت به زمان بترتیب در شکل‌های (۸) و (۹) نشان داده شده است. این نمودارها برای نقطه $(\alpha/2, L/2)$ واقع روی سطح میانی و همچنین سطوح داخلی و خارجی نشان داده شده است. همانگونه که ملاحظه می‌شود این مؤلفه‌های تنش در سطوح داخلی و خارجی با نوسانات سینوسی همراه بوده و حالت تنشی عکس نسبت به هم دارند (سطح خارجی کشش و سطح داخلی فشار و یا بلعکس) و در ضمن مقدار این دو مؤلفه تنش روی سطح میانی نسبت به سطوح داخلی و خارجی ناچیز است. تغییرات تنش برشی در صفحه و تنش برشی عرضی، با زمان برای نقاط (α, L) و $(\alpha/2, 0)$ واقع روی سطوح داخلی، میانی و خارجی در شکل‌های (۱۰) و (۱۱) نشان داده شده است. تغییرات این نمودارها نسبت به زمان مشابه هم است و هر دو رفتاری سینوسی دارند. همانگونه که دیده می‌شود، روی سطح میانی

لحاظ گردد. بدین منظور از اعدادی خیلی کوچک برای ثابت‌های پیزوالکتریک و دی‌الکتریک (برای حذف خاصیت پیزوالکتریک و برقرار نمودن کوپلینگ ضعیف) و ثابت زمانی واحد (جهت میل بارگذاری دینامیکی به بارگذاری شبه استاتیکی) و انتخاب یک طول بزرگ برای پائل (برای نزدیک شدن به طول بینهایت و خم استوانه‌ای) استفاده شده است:

$$Y_r : Y_\theta : Y_z : G_{r\theta} : G_{\theta z} : G_{rz} = 1 : 25 : 1 : 0.05 : 0.05 : 0.02$$

$$\eta_{11} = \eta_{22} = \eta_{33} = -10 \times 10^{-11} C^2 N^{-1} m^{-1}$$

$$v_{\theta r} = v_{\theta z} = v_{rz} = 0.25$$

$$e_{24} = e_{15} = 0, e_{31} = e_{32} = e_{33} = 10^{-11} Cm^{-2}$$

$$L = 1000 R_m, R_m = 1, \alpha = \pi/3, c = 1$$

نتایج بدست آمده ضمن مقایسه با حل رن در جدول (۲) داده شده است. همخوانی نتایج حاصل از این روش برای پائل‌های نازک ($S = 0.0$) و ضخیم ($S = 2$) بیانگر درستی روش ارائه شده در این مقاله است. البته میزان خطایی که در این جدول دیده می‌شود بخاطر کم بودن تعداد المان در راستای ضخامت است. (در اینجا از ۱۰ المان استفاده شده است)

جدول (۲): مقایسه حل ارائه شده با حل Ren [۸] در حالت استاتیکی

$S = R_m / H$	2	2	500	500
	Present	Ren(1987)	Present	Ren(1987)
$\tilde{u}(\alpha/2, 0)$	8.634	9.986	0.4914	0.749
$\tilde{\sigma}_\theta(\alpha/2, -H/2)$	-2.123	-2.455	-0.461	-0.752
$\tilde{\sigma}_\theta(\alpha/2, +H/2)$	1.627	1.907	0.459	0.750
$\tilde{\sigma}_z(\alpha/2, -H/2)$	-0.0212	-0.0245	-0.0044	-0.0075
$\tilde{\sigma}_z(\alpha/2, +H/2)$	0.07881	0.0816	0.0048	0.0075
$\tilde{\tau}_{r\theta}(0, 0)$	0.443	0.555	0.343	0.563

در شکل‌های (۳) الی (۱۱) تاریخچه زمانی مؤلفه‌های جابجایی مکانیکی، پتانسیل الکتریکی و مؤلفه‌های تنش مربوط به سه نقطه خارجی ($\xi = 0.05$)، میانی ($\xi = 0$) و داخلی ($\xi = -0.05$) پائل داده شده است ($\xi = (r - R_m) / H$) ضخامت بدون بعد است. در هر یک از این نمودارها نقاطی از پائل انتخاب شده است که مقادیر غیر صفر دارند. شکل (۳) جابجایی شعاعی پائل را در نقطه $(\alpha/2, L/2)$ واقع روی سطوح خارجی میانی و داخلی نشان می‌دهد. مشاهده می‌شود که این منحنی رفتاری سینوسی داشته و حدوداً پس از ده بار رفت و برگشت موج در ضخامت پائل به حداکثر جابجایی شعاعی می‌رسد. با اندازه‌گیری فاصله دو قله نوسانات پائل که حدوداً پانزده (زمان بی‌بعد) است فرکانس پایه ارتعاشات طبیعی پائل برابر ۶۹۰ بر ثانیه خواهد بود.

در شکل (۴) و (۵) بترتیب تاریخچه زمانی جابجایی محیطی نقطه $(\alpha/2, L/2)$ و جابجایی محوری نقطه $(\alpha/2, L/2)$ داده شده

مقدار تنش برشی عرضی از تنش برشی در صفحه بزرگتر است. همچنین همانگونه که انتظار می‌رفت روی سطوح خارجی و داخلی مقدار تنش برشی عرضی صفر است.

۵- نتیجه گیری

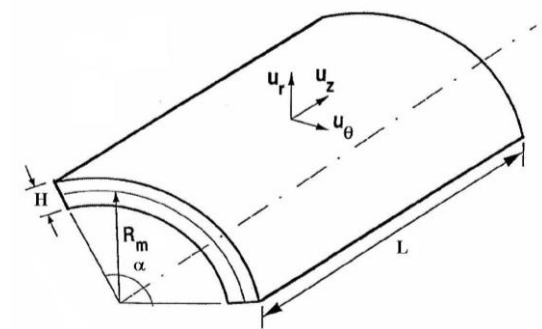
در این مقاله بررسی پاسخ دینامیکی پانل پیزوالکتریک تحت بار فشاری خارجی از روش نیمه تحلیلی ارائه شده است. پانل مزبور دارای طول محدود، ارتوتروپیک و در جهت شعاعی پلاریزه شده است. همانگونه که در مراجع [۵و۶] نشان داده شده است، توزیع جابجایی‌های مکانیکی و پتانسیل الکتریکی مواد پیزوالکتریک بسیار پیچیده است و نمی‌توان مانند مواد الاستیک و فرض تغییرات خطی جابجایی و پتانسیل الکتریکی در جهت ضخامت به بررسی آنها پرداخت. از اینرو، آنالیز سه بعدی رفتار سازه‌های ساخته شده از مواد پیزوالکتریک حتی در حالتی که ضخامت آنها بسیار کم است سفارش می‌گردد.

از آنجاکه هنوز مطالعه دقیق و همه جانبه‌ای از پاسخ دینامیکی سازه‌های پیزوالکتریک در دسترس نیست، مطالعه حاضر به شناسایی رفتارهای دینامیکی، مکانیکی و الکتریکی این مواد هوشمند کمک می‌کند. نتایج این مقاله همچنین برای ارزیابی آنالیزهای دینامیکی تقریبی نیز مفید است. نتایج حاصل از این تحقیق، با توجه به بار وارده، به طور خلاصه عبارتند از: - روش ارائه شده در این مقاله مناسب تحلیل دینامیکی پانل استوانه‌ای پیزوالکتریک است و شرایط مرزی در این روش برآورده می‌شود.

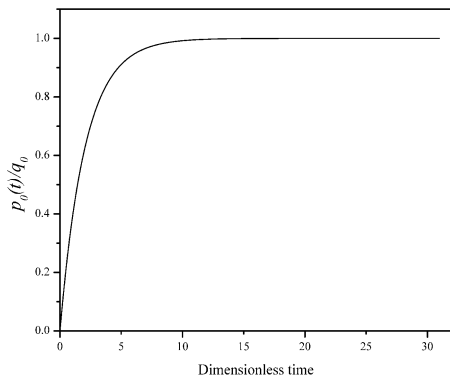
- کلیه مؤلفه‌های جابجایی، اعم از شعاعی، محیطی، محوری و پتانسیل الکتریکی رفتاری سینوسی دارند.

- از میان مؤلفه‌های تنش، تنها تنش شعاعی روی سطح میانی رفتار سینوسی نداشته و با نوسانات محلی همراه است.

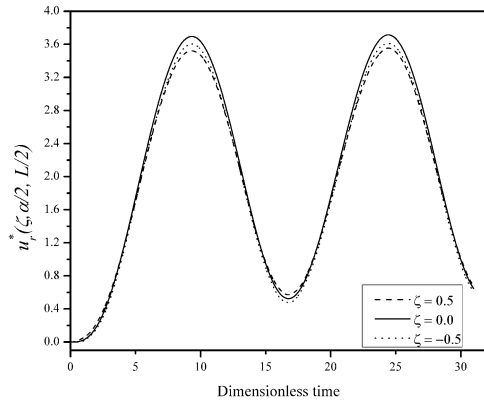
پوش منحنی مؤلفه تنش شعاعی مشابه بار وارده روی پانل و از آن کمتر است.



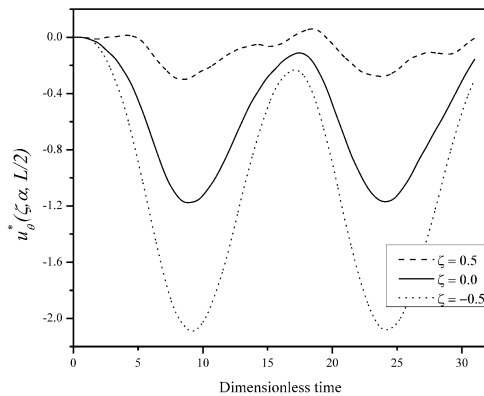
شکل (۱): مشخصات پانل استوانه‌ای با تکیه‌گاه ساده



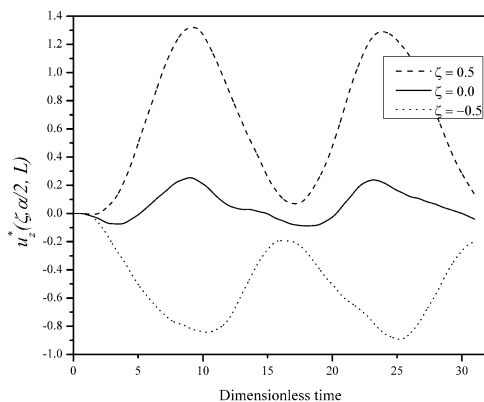
شکل (۲): فشاری اعمال شده روی سطح خارجی پانل با زمان.



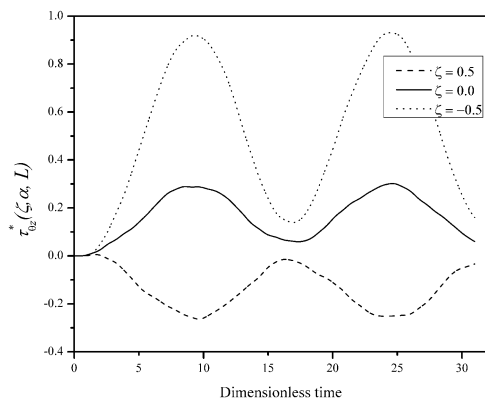
شکل (۳): تاریخچه زمانی جابجایی شعاعی (u_r^*)



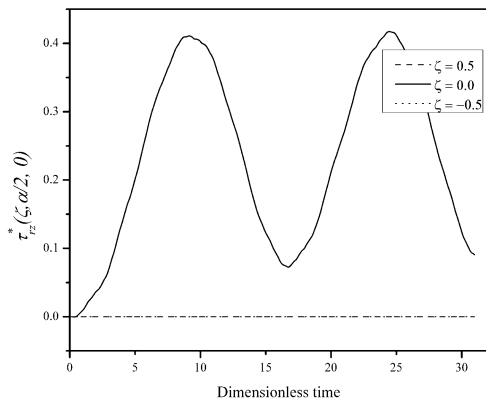
شکل (۴): تاریخچه زمانی جابجایی محیطی (u_θ^*)



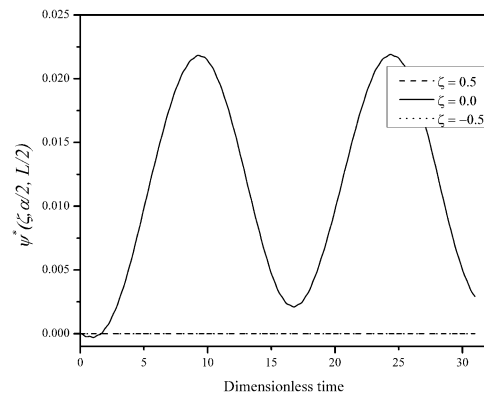
شکل (۵): تاریخچه زمانی جابجایی محوری (u_z^*)



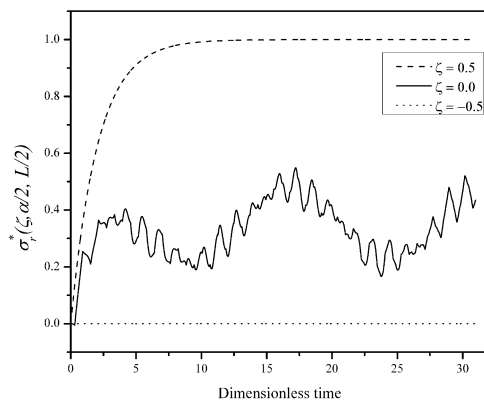
شکل (۱۰): تاریخچه زمانی تنش برشی در صفحه $(\tau_{\theta z}^*)$



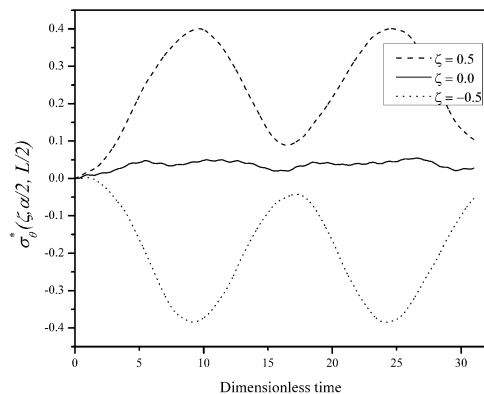
شکل (۱۱): تاریخچه زمانی تنش برشی عرضی (τ_{rz}^*)



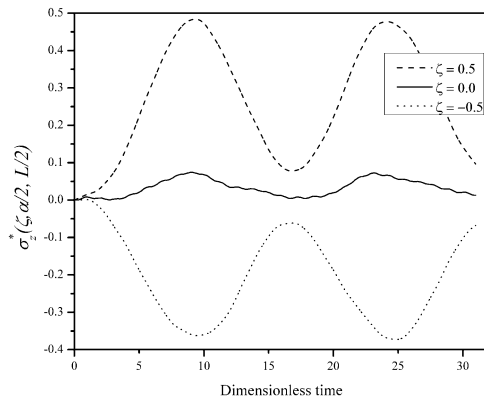
شکل (۶): تاریخچه زمانی پتانسیل الکتریکی (ψ^*)



شکل (۷): تاریخچه زمانی تنش شعاعی (σ_r^*)



شکل (۸): تاریخچه زمانی تنش محیطی (σ_{θ}^*)



شکل (۹): تاریخچه زمانی تنش محوری (σ_z^*)

۶- مراجع

[۱] Crawley, F. E.; "Intelligent structures for aerospace: a technology overview and assessment", AIAA J. vol.32: 1689-1700, 1994.

[۲] Dumir, P. C.; Dube, G. P.; Kapuria, S.; "Exact piezoelectric solution of simply supported orthotropic circular cylindrical panel in cylindrical bending", Int. J. Solids Structure. vol.34 (6): 685-702, 1997.

[۳] Chen, C. Q.; Shen, Y. P.; "Piezothermoelasticity analysis for a cylindrical shell under the state of axisymmetric deformation", Int. J. Engng Sci. Vol.34 (14):1585-600, 1996.

[۴] Shakeri, M.; Sedighi, M. R.; Daneshmehr, A. R.; "Three dimensional elasticity solution of single layer piezoelectric panel", vol. 8(2): 26-41, 2008.

[۵] Shakeri, M.; Alibiglu, A.; Eslami, M. R.; "Elasticity solution for thick laminated anisotropic cylindrical panels under dynamic load", J. Mech. Eng. Sci. (ImechE), vol.216 Part C, PP.315-324, 2002.

[۶] Shakeri, M., Daneshmehr, A. R. and Alibiglu, A.; "Elasticity solution for thick laminated shell panel with piezoelectric layer", EASEC-9 Conf., Bali, Indonesia, 2003.

[۷] Wu X. H.; Shen, Y. P. and Chen, C. Q.; "An exact solution for functionally graded piezothermoelastic cylindrical shell as sensors or actuators", Materials Letters vol.57 :3532-3542, 2003.

[۸] Ren, J. G.; "Exact solution for laminated cylindrical shells in cylindrical bending", Comp. Sci. Tech. vol.29 :196-187, 1987.



- ˆ Direct effect
- ˆ Inverse effect
- ˆ Electromechanical sensor
- ˆ Electromechanical actuator
- ° Distributed
- ˆ Patch
- ˆ Polarized
- ^ Galerkin
- ^ Weak form
- ˆ Navier
- ˆ Newmark Implicit Method

